

**МОДЕЛИРОВАНИЕ ПРОЦЕССА ДЕФОРМИРОВАНИЯ ГОРНЫХ  
ВЫРАБОТОК С НЕКРУГОВЫМИ МНОГОСЛОЙНЫМИ КРЕПЯМИ В  
МАССИВАХ СО СЛОЖНЫМИ РЕОЛОГИЧЕСКИМИ СВОЙСТВАМИ**

*(Воронежский государственный университет)*

Известно [2], что исследование задач горной механики с позиций устойчивости состояния равновесия горного массива возле подкрепленных выработок связано [7] с определением напряженно-деформированных состояний в приконтурной зоне массива горных пород и крепи. В монографии [7] получены решения для полей напряжений и перемещений в упруговязкопластическом массиве горных пород около неподкрепленных выработок некруговой формы поперечного сечения (эллиптической и правильной многоугольной). В настоящей работе в рамках метода малого параметра определяется напряженно-деформированное состояние горного массива возле вертикальной выработки, подкрепленной многослойной крепью в случаях, когда поперечное сечение слоя крепи имеет форму эллиптического кольца или правильного многоугольного кольца. При этом в зонах пластического деформирования горного массива и крепи принята модель упруговязкопластической среды [5].

При определении напряженно-деформированного состояния (далее НДС) все функции представляются в виде рядов по степеням малого параметра  $d$ , характеризующего отклонение от исходного невозмущенного состояния, то есть отклонение окружности радиуса  $R_i$  от эллипса [3]

$$r_{\varepsilon i} = R_i(1 + d \cdot d \cos 2q - \frac{3}{4} d^2 d^2 (1 - \cos 4q) + o(d^3)), \quad (1.1)$$

или правильного многоугольника радиуса

$$r_{mi} = R_i(1 + d \cdot d \cos mq - \frac{2m-1}{4} d^2 d^2 \cdot [1 - \cos 2mq] + o(d^3)). \quad (1.2)$$

Здесь  $d d$  – параметр, определяющийся полуосями эллипса:  $a=R_i(1+\delta d)$ ,  $b=R_i(1-\delta d)$  для (1.1), или параметрами гипоциклоиды в случае (1.2),  $i=0,1,2,\dots,N$ ,  $0 \leq q \leq 2\pi$ . В качестве нулевого приближения будем выбирать решение осесимметричной задачи о распределении полей напряжений и перемещений в массиве около подкрепленной круговой вертикальной выработки и в многослойной круговой крепи.

1. Рассмотрим горный массив с круговой вертикальной выработкой радиуса  $R_N$ , подкрепленной круговой  $N$ -слойной крепью. К внутреннему контуру первого слоя кре-

пи радиуса  $R_0$  приложена равномерно распределенная нагрузка  $q_0$ . На линиях сопряжения слоев крепи и массива возникают сжимающие усилия  $q_1, q_2, \dots, q_N$ . На бесконечности напряжения в массиве стремятся к величине  $gh$  ( $g$  – объемный вес породы,  $h$  – глубина заложения выработки), т. е. начальное напряженное состояние в массиве (до проведения выработки) принимается гидростатическим. Величины  $q_i$  ( $i=0,1,2,\dots, N$ ) и  $gh$  таковы, что образовавшиеся пластические области полностью охватывают внутренние контуры слоев крепи и контур выработки. Решение проведем в рамках плоской задачи теории течения, используя цилиндрическую систему координат  $r, q, z$ . Материал массива и слоев крепи предполагается различным и моделируется упруго-вязко-пластической средой [5] с трансляционным упрочнением [1, 4].

В этом случае функция нагружения имеет вид

$$F = \left( S_s^j - c_i e_s^{jP} - h_i e_s^{jP} \right) \left( S_j^s - c_i e_j^{sP} - h_i e_j^{sP} \right) - k_i^2, \quad (1.3)$$

а соотношения ассоциированного закона течения –

$$d e_i^{jP} = d l \frac{\partial F}{\partial S_i^j}. \quad (1.4)$$

Здесь  $c_i$  – коэффициент упрочнения;  $k_i$  – предел текучести,  $h_i$  – коэффициент вязкости;  $S_s^j = S_s^j - s d_s^j$  – девиатор тензора напряжений;  $S = S_k^k / 3$ ;  $d_s^j$  – символ Кронекера;  $e_s^j$  – компоненты тензора деформаций;  $e_s^j$  – компоненты тензора скоростей деформаций;  $d l$  – скалярный положительный множитель. Индексы  $s, j$  принимают значения от 1 до 3.

Индекс  $i$  принимает значения 1, 2, ..., N. Его отсутствие у величин  $s, k, h$  в (1.3), (1.4) и далее подчеркивает принадлежность этих величин к массиву. По повторяющимся индексам проводится суммирование. Здесь и далее верхние индексы «р» или «е» обозначают величины, относящиеся к пластической или упругой областям соответственно.

Определение НДС составной горной конструкции в осесимметричном случае сводится к решению двух взаимосвязанных задач о концентрации напряжений. Первая задача сводится к определению НДС в  $i$ -ом слое крепи, вторая – к определению НДС в массиве. Граничные условия и условия сопряжения для  $i$ -го слоя крепи ( $R_{i-1}$  – внутренний радиус  $i$ -ого слоя,  $R_i$  – внешний радиус,  $g_i$  – граница раздела зон упругого и пластического деформирования в  $i$ -ом слое) и массива горных пород имеют соответственно вид

$$S_r \Big|_{r=R_{i-1}} = -q_{i-1}, S_r \Big|_{r=R_i} = -q_i$$

$$[S_{ri}] \Big|_{r=g_i} = 0, [S_{qi}] \Big|_{r=g_i} = 0, \quad (i \in [1, N]) \quad (1.5)$$

$$S_r \Big|_{r=R_N} = -q_N, S_r \Big|_{r \rightarrow \infty} = S_q \Big|_{r \rightarrow \infty} = -gh$$

$$[S_r] \Big|_{r=g} = 0, [S_q] \Big|_{r=g} = 0, \quad (1.6)$$

где квадратные скобки обозначают разрыв значений выражения, в данном случае – на границе раздела сред упругого и пластического деформирования.

НДС, соответствующее  $i$ -ому слою круговой крепи, определено в виде:

– в пластической области ( $R_{i-1} < r < g_i$ ) распределение напряжений имеет вид

$$\begin{aligned} s_{r_i} &= -q_{i-1} + 4m_i(T_{1i} \ln \frac{r}{R_{i-1}} - \frac{D_i + T_{2i}}{2} (\frac{1}{r^2} - \frac{1}{R_{i-1}^2})), \\ s_{q_i} &= -q_{i-1} + 4m_i(T_{1i} (\ln \frac{r}{R_{i-1}} + 1) + \frac{D_i + T_{2i}}{2} (\frac{1}{r^2} + \frac{1}{R_{i-1}^2})), \end{aligned} \quad (1.7)$$

где  $T_{1i} = \frac{c_i k_i}{c_i + 2m_i} (1 - e^{-b_i t}) + \frac{2m_i D_{0i}}{(c_i + 2m_i) R_{i-1}^2} e^{-b_i t}$ ,  $T_{2i} = -\frac{2m_i D_i}{c_i + 2m_i}$ ,

$$b_i = \frac{c_i + 2m_i}{h_i}, \quad c_i = \text{sign}(q_{i-1} - q_i), \quad D_{0i} = \frac{R_i^2 R_{i-1}^2}{R_i^2 - R_{i-1}^2} \frac{q_{i-1} - q_i}{2m_i},$$

$$D_i = \frac{g_i^2}{2m_i} (c_i k_i (1 - e^{-b_i t}) + \frac{R_i^2}{R_i^2 - R_{i-1}^2} (q_{i-1} - q_i) e^{-b_i t}), \quad m_i - \text{модуль}$$

сдвига для  $i$ -ого слоя крепи.

– в упругой области ( $g_i < r < R_i$ ) поле напряжений имеет вид

$$s_{r_i} = 2m_i D_i (\frac{1}{R_i^2} - \frac{1}{r^2}) - q_i, \quad s_{\theta_i} = 2m_i D_i (\frac{1}{R_i^2} + \frac{1}{r^2}) - q_i. \quad (1.8)$$

Перемещения ( $u$  – вдоль радиального направления) и полные деформации в упругой и пластической областях определяются по одним и тем же формулам

$$u_i = \frac{D_i}{r}, \quad e_{r_i} = -e_{\theta_i} = -\frac{D_i}{r^2}. \quad (1.9)$$

Пластические деформации определяются соотношением

$$e_{r_i}^p = -e_{\theta_i}^p = T_{1i} + \frac{T_{2i}}{r^2}. \quad (1.10)$$

Уравнение для определения радиуса упругопластической границы  $g_i$  имеет вид

$$\begin{aligned} &\frac{g_i^2}{2m_i} (c_i k_i (1 - e^{-b_i t}) + \frac{R_i^2}{R_i^2 - R_{i-1}^2} (q_{i-1} - q_i) e^{-b_i t}) = \\ &= \frac{2R_{i-1}^2 R_i^2}{R_i^2 - R_{i-1}^2} (\frac{q_{i-1} - q_i}{4m_i} - T_{1i} (\ln \frac{g_i}{R_{i-1}} + \frac{1}{2} (1 - \frac{g_i^2}{R_{i-1}^2}))). \end{aligned} \quad (1.11)$$

НДС горного массива возле круговой выработки определено в виде

– в пластической области ( $1 < r < g$ ) распределение напряжений имеет вид

$$\begin{aligned} s_r^p &= -q_N + 4m(T_1 \ln r - \frac{D + T_2}{2} (\frac{1}{r^2} - 1)), \\ s_\theta^p &= -q_N + 4m(T_1 (\ln r + 1) + \frac{D + T_2}{2} (\frac{1}{r^2} + 1)), \end{aligned} \quad (1.12)$$

$$\text{где } T_1 = \frac{c}{c+2m}(1-e^{-bt}) + \frac{2mD_0}{(c+2m)}e^{-bt}, T_2 = -\frac{2mD}{c+2m}, b = \frac{c+2m}{h},$$

$$c = \text{sign}(q_N - gh), D_0 = \frac{q_N - gh}{2m}, D = \frac{g^2}{2m}(c(1-e^{-bt}) + (q_N - gh)e^{-bt}).$$

– в упругой области ( $g < r < \infty$ ) поле напряжений согласно [6] имеет вид

$$s_r = -\frac{2mD}{r^2} - gh, \quad s_\theta = \frac{2mD}{r^2} - gh \quad (1.13)$$

Перемещения и полные деформации в упругой и пластической областях определяются по формулам [6]

$$u = \frac{D}{r}, \quad e_r = -e_\theta = -\frac{D}{r^2} \quad (1.14)$$

Пластические деформации определяются соотношением

$$e_r^p = -e_\theta^p = T_1 + \frac{T_2}{r^2} \quad (1.15)$$

На упругопластической границе  $g$  выполняется следующее соотношение для усилий  $q_N$  и  $gh$ :

$$\frac{g^2}{2m}(c(1-e^{-bt}) + (q_N - gh)e^{-bt}) = 2\left(\frac{q_N - gh}{4m} - T_1(\ln g + \frac{1}{2}(1-g^2))\right). \quad (1.16)$$

В (1.5) – (1.16) все величины, имеющие размерность напряжений, отнесены к пределу текучести для материала горного массива –  $k$ , а имеющие размерность длины – к радиусу выработки  $R_N$ .

Полученные решения для массива и крепи принимаем в качестве нулевого приближения для исследуемых далее задач. Ниже всем величинам, относящимся к этому приближению, будем приписывать индекс <sup>(0)</sup> вверху.

2. Рассмотрим задачу об определении напряженно-деформированных состояний горного массива в окрестности подкрепленной выработки эллиптического поперечного сечения и многослойной крепи, состоящей из  $N$  слоев, поперечные сечения которых имеют форму эллиптических колец. Решение будем искать для  $i$ -ого слоя крепи ( $i=1,2,\dots,N$ ) и приконтурной области массива. Ограничимся случаем первого приближения первой итерации.

Граничные условия на нормальные  $S_{ni}$  и касательные  $s_{ni}$  напряжения для  $i$ -го слоя крепи ( $r_{\vartheta(i-1)}$  – внутренний радиус  $i$ -ого слоя,  $r_{\vartheta i}$  – внешний радиус), следуя работе [3] имеют соответственно вид

$$s_{ni} = \left\{ s_{ri}^{(0)} + d\left(s_{ri}^{(1)} + \frac{ds_{ri}^{(0)}}{dr} r_{\vartheta(i-1)}^{(1)}\right) \right\} \Big|_{r=R_{i-1}} = -q_{i-1}, \quad (2.1)$$

$$s_{ni} = \left\{ t_{rqi}^{(0)} + d\left(t_{rqi}^{(1)} - (s_{qi}^{(0)} - s_{ri}^{(0)}) \frac{dr_{\vartheta(i-1)}^{(1)}}{dq}\right) \right\} \Big|_{r=R_{i-1}} = 0. \quad (2.2)$$

Из (2.1), (2.2) с учетом (1.1), (1.7) находим граничные условия для величин первого порядка

$$s_{r_i}^{(1)} \Big|_{r=R_{i-1}} = -2dA_i \cos 2q, \quad t_{r_{q_i}}^{(1)} \Big|_{r=R_{i-1}} = -4dA_i \sin 2q, \quad (2.3)$$

где 
$$A_i = 2m_i \left( T_{1i} + \frac{D_i + T_{2i}}{R_{i-1}^2} \right).$$

Тогда напряжения в пластической зоне с учетом (2.3) будут иметь вид

$$\begin{aligned} s_{r_i}^{(1)} &= \frac{4R_{i-1}A_id}{r} \sin\left(b_i - \frac{p}{6}\right) \cos 2q - \frac{B_i}{2} \left( g_i^2 \left( \frac{1}{r^2} - \frac{1}{R_{i-1}^2} \right) + 2 \ln \frac{r}{R_{i-1}} \right), \\ s_{q_i}^{(1)} &= \frac{4R_{i-1}A_id}{r} \sin\left(b_i - \frac{p}{6}\right) \cos 2q - \frac{B_i}{2} \left( -g_i^2 \left( \frac{1}{r^2} + \frac{1}{R_{i-1}^2} \right) + 2 \ln \frac{r}{R_{i-1}} + 2 \right), \\ t_{r_{q_i}}^{(1)} &= -\frac{4R_{i-1}A_id}{r} \cos b_i \sin 2q, \end{aligned} \quad (2.4)$$

где  $B_i = 2(c_i T_{1i} + h_i \dot{T}_{1i})$ ,  $b_i = \sqrt{3} \ln \frac{r}{R_{i-1}}$ ,  $\dot{T}_{1i} = \frac{d}{dt}(T_{1i})$ .

В (2.1) – (2.4) индекс  $i=1,2,\dots,N$ , стоящий внизу у величин напряжений, обозначает как и ранее принадлежность их к  $i$ -му слою крепи. Эти соотношения будут справедливы и для пластической области массива, если в них опустить индекс  $i$  и сделать замену  $q_{i-1} = q_N$ ,  $R_{i-1} = R_N = 1$ .

Используя условие сопряжения напряжений на упругопластической границе  $g_i$ , следуя [7], получим граничные условия для напряжений в упругой зоне  $i$ -ого слоя крепи на ее внутренней границе:

$$\begin{aligned} s_r^{(1)} \Big|_{r=g_i} &= a_{oi} B_i - a_{1i} \cos 2q \\ t_{r_{\theta_i}}^{e(1)} \Big|_{r=g_i} &= -a_{2i} \sin 2q, \end{aligned} \quad (2.5)$$

где 
$$\begin{aligned} a_{oi} &= -\frac{1}{2} \left( 1 - \frac{g_i^2}{R_{i-1}^2} + 2 \ln \frac{g_i}{R_{i-1}} \right), \quad a_{1i} = -\frac{4R_{i-1}A_id}{g_i} \sin\left(b_{0i} - \frac{p}{6}\right) \cos 2q, \\ a_{2i} &= \frac{4R_{i-1}A_id}{g_i} \cos b_{0i}, \quad b_{0i} = \sqrt{3} \ln \frac{g_i}{R_{i-1}}. \end{aligned}$$

На внешней границе области упругого деформирования  $i$ -ого слоя будут иметь место следующие граничные условия:

$$s_{r_i}^{(1)} \Big|_{r=R_i} = -2A_i^e d \cos 2q, \quad t_{r_{q_i}}^{(1)} \Big|_{r=R_i} = -4A_i^e d \sin 2q, \quad (2.6)$$

где 
$$A_i^e = 2m_i \frac{D_i}{R_i^2}.$$

Используя (2.5) и (2.6), согласно [3] определим первые итерации первых приближений напряжений и перемещений в упругой области, разделив их на 2 части – найден-

ные по условиям на внутренней границе (верхний индекс (s)) и на внешней границе (верхний индекс (a))

$$\mathbf{s}_{ri}^{(1)} = \mathbf{s}_{ri}^{(s)} + \mathbf{s}_{ri}^{(a)}, \mathbf{s}_{qi}^{(1)} = \mathbf{s}_{qi}^{(s)} + \mathbf{s}_{qi}^{(a)}, \mathbf{t}_{rqi}^{(1)} = \mathbf{t}_{rqi}^{(s)} + \mathbf{t}_{rqi}^{(a)},$$

$$u_{ri}^{(1)} = u_{ri}^{(s)} + u_{ri}^{(a)}, u_{qi}^{(1)} = u_{qi}^{(s)} + u_{qi}^{(a)}, \quad (2.7)$$

здесь

– внутренние составляющие напряжений

$$\begin{aligned} \mathbf{s}_{ri}^{(s)} &= \frac{g_i^2}{R_i^2 - g_i^2} (-a_{oi} B_i + a_{oi} B_i \frac{R_i^2}{r^2}) - \frac{1}{2N_i} \{ \{ 2[1 - 2(\frac{R_i}{g_i})^2 + (\frac{R_i}{g_i})^{-4}] + \\ &+ 2[3 - 2(\frac{R_i}{g_i})^2 - (\frac{R_i}{g_i})^4] (\frac{r}{g_i})^{-4} + 4[1 - 2(\frac{R_i}{g_i})^{-2} + (\frac{R_i}{g_i})^4] (\frac{r}{g_i})^{-2} \} a_{1i} + \\ &+ \{ -4 + 4(\frac{R_i}{g_i})^2 + [-4(\frac{R_i}{g_i})^2 + 4(\frac{R_i}{g_i})^4] (\frac{r}{g_i})^{-4} + [4 - 4(\frac{R_i}{g_i})^4] (\frac{r}{g_i})^{-2} \} a_{2i} \} d \cos 2q, \\ \mathbf{s}_{qi}^{(s)} &= \frac{g_i^2}{R_i^2 - g_i^2} (-a_{oi} B_i - a_{oi} B_i \frac{R_i^2}{r^2}) - \frac{1}{2N_i} \{ \{ 2[-1 + 2(\frac{R_i}{g_i})^2 - (\frac{R_i}{g_i})^{-4}] + \\ &+ 2[-3 + 2(\frac{R_i}{g_i})^2 + (\frac{R_i}{g_i})^4] (\frac{r}{g_i})^{-4} + 4[-3 + 2(\frac{R_i}{g_i})^{-2} + (\frac{R_i}{g_i})^4] (\frac{r}{g_i})^{-2} \} a_{1i} + \{ [4 - 4(\frac{R_i}{g_i})^2] + \\ &+ [4(\frac{R_i}{g_i})^2 - 4(\frac{R_i}{g_i})^4] (\frac{r}{g_i})^{-4} + [12 - 16(\frac{R_i}{g_i})^{-2} + 4(\frac{R_i}{g_i})^{-4}] (\frac{r}{g_i})^2 \} a_{2i} \} d \cos 2q, \end{aligned} \quad (2.8)$$

$$\begin{aligned} \mathbf{t}_{rqi}^{(s)} &= -\frac{1}{2N_i} \{ [2(-1 + 2(\frac{R_i}{g_i})^2 - (\frac{R_i}{g_i})^{-4}) + 2(3 - 2(\frac{R_i}{g_i})^2 - (\frac{R_i}{g_i})^4) (\frac{r}{g_i})^{-4} + 2(-3 + 2(\frac{R_i}{g_i})^{-2} + \\ &+ (\frac{R_i}{g_i})^4) (\frac{r}{g_i})^{-2} + 2(1 - 2(\frac{R_i}{g_i})^{-2} + (\frac{R_i}{g_i})^4) (\frac{r}{g_i})^{-2}] a_{1i} + [(4 - 4(\frac{R_i}{g_i})^2) + (-4(\frac{R_i}{g_i})^2 + 4(\frac{R_i}{g_i})^4) (\frac{r}{g_i})^{-4} + \\ &+ (6 - 8(\frac{R_i}{g_i})^{-2} + 2(\frac{R_i}{g_i})^{-4}) (\frac{r}{g_i})^2 + (2 - 2(\frac{R_i}{g_i})^4) (\frac{r}{g_i})^{-2}] a_{2i} \} d \sin 2q, \end{aligned}$$

– внешние составляющие напряжений

$$\begin{aligned} \mathbf{s}_{ri}^{(a)} &= -\frac{1}{N_i} \{ 2[-3 + 2(\frac{R_i}{g_i})^{-2} + (\frac{R_i}{g_i})^4] + 2[3 - 6(\frac{R_i}{g_i})^{-2} + 3(\frac{R_i}{g_i})^{-4}] (\frac{r}{R_i})^{-4} + \\ &+ 4[3 - 2(\frac{R_i}{g_i})^2 - (\frac{R_i}{g_i})^{-4}] (\frac{r}{R_i})^{-2} \} A^e_i d \cos 2q, \\ \mathbf{s}_{qi}^{(a)} &= -\frac{1}{N_i} \{ 2[3 - 2(\frac{R_i}{g_i})^{-2} - (\frac{R_i}{g_i})^4] + 6[-1 + 2(\frac{R_i}{g_i})^{-2} - (\frac{R_i}{g_i})^{-4}] (\frac{r}{R_i})^{-4} + \\ &+ 12[1 - 2(\frac{R_i}{g_i})^2 + (\frac{R_i}{g_i})^4] (\frac{r}{R_i})^2 \} A^e_i d \cos 2q, \\ \mathbf{t}_{rqi}^{(a)} &= -\frac{2}{N_i} \{ [3 - 2(\frac{R_i}{g_i})^{-2} - (\frac{R_i}{g_i})^4] + 3[1 - 2(\frac{R_i}{g_i})^{-2} + (\frac{R_i}{g_i})^{-4}] (\frac{r}{R_i})^{-4} + \\ &+ 3[1 - 2(\frac{R_i}{g_i})^2 + (\frac{R_i}{g_i})^4] (\frac{r}{R_i})^2 + [3 - 2(\frac{R_i}{g_i})^2 - (\frac{R_i}{g_i})^{-4}] (\frac{r}{R_i})^{-2} \} A^e_i d \sin 2q, \end{aligned} \quad (2.9)$$

$$t_{rqi}^{(a)} = -\frac{2}{N_i} \left\{ \left[ 3 - 2\left(\frac{R_i}{g_i}\right)^{-2} - \left(\frac{R_i}{g_i}\right)^4 \right] + 3 \left[ 1 - 2\left(\frac{R_i}{g_i}\right)^{-2} + \left(\frac{R_i}{g_i}\right)^4 \right] \left(\frac{r}{R_i}\right)^{-4} + \right. \\ \left. + 3 \left[ 1 - 2\left(\frac{R_i}{g_i}\right)^2 + \left(\frac{R_i}{g_i}\right)^4 \right] \left(\frac{r}{R_i}\right)^2 + \left[ 3 - 2\left(\frac{R_i}{g_i}\right)^2 - \left(\frac{R_i}{g_i}\right)^4 \right] \left(\frac{r}{R_i}\right)^{-2} \right\} A^e_i d \sin 2q,$$

– внутренние составляющие перемещений

$$u_{ri}^{(s)} = \frac{-g_i^2}{6m_i(R_i^2 - g_i^2)} [a_{0i}B_i + 3a_{0i}B_i \frac{R_i^2}{r^2}] r - \frac{1}{m_i} [-C_{1i}^{(s)} \frac{r}{R_i} + C_{2i}^{(s)} \left(\frac{r}{R_i}\right)^{-3} - \frac{2}{3} C_{3i}^{(s)} \left(\frac{r}{R_i}\right)^3 + \\ + \frac{4}{3} C_{4i}^{(s)} \left(\frac{r}{R_i}\right)^{-1}] R_i d \cos 2\theta,$$

$$u_{qi}^{(s)} = -\frac{1}{m} [C_{1i}^{(s)} \frac{r}{R_i} + C_{2i}^{(s)} \left(\frac{r}{R_i}\right)^{-3} + \frac{7}{3} C_{3i}^{(s)} \left(\frac{r}{R_i}\right)^3 - \frac{1}{3} C_{4i}^{(s)} \left(\frac{r}{R_i}\right)^{-1}] R_i d \sin 2q, \quad (2.10)$$

– внешние составляющие перемещений

$$u_{ri}^{(a)} = -\frac{1}{m_i} [-C_{1i}^{(a)} \frac{r}{R_i} + C_{2i}^{(a)} \left(\frac{r}{R_i}\right)^{-3} - \frac{2}{3} C_{3i}^{(a)} \left(\frac{r}{R_i}\right)^3 + \frac{4}{3} C_{4i}^{(a)} \left(\frac{r}{R_i}\right)^{-1}] R_i d \cos 2q$$

$$u_{qi}^{(a)} = -\frac{1}{m} [C_{1i}^{(a)} \frac{r}{R_i} + C_{2i}^{(a)} \left(\frac{r}{R_i}\right)^{-3} + \frac{7}{3} C_{3i}^{(a)} \left(\frac{r}{R_i}\right)^3 - \frac{1}{3} C_{4i}^{(a)} \left(\frac{r}{R_i}\right)^{-1}] R_i d \sin 2q. \quad (2.11)$$

В (2.10), (2.11) константы определяются по формулам

$$C_{1i}^{(s)} = \frac{-1 + 2\left(\frac{R_i}{g_i}\right)^2 - \left(\frac{R_i}{g_i}\right)^4}{2N_i} a_{1i} + \frac{4 - 4\left(\frac{R_i}{g_i}\right)^2}{4N_i} a_{2i} \\ C_{2i}^{(s)} = \frac{-3 + 2\left(\frac{R_i}{g_i}\right)^2 + \left(\frac{R_i}{g_i}\right)^4}{6N_i} \left(\frac{R_i}{g_i}\right)^{-4} a_{1i} + \frac{4\left(\frac{R_i}{g_i}\right)^2 - 4\left(\frac{R_i}{g_i}\right)^4}{12N_i} \left(\frac{R_i}{g_i}\right)^{-4} a_{2i} \\ C_{3i}^{(s)} = \frac{-3 + 2\left(\frac{R_i}{g_i}\right)^{-2} + \left(\frac{R_i}{g_i}\right)^4}{6N_i} \left(\frac{R_i}{g_i}\right)^2 a_{1i} + \frac{3 - 4\left(\frac{R_i}{g_i}\right)^{-2} + \left(\frac{R_i}{g_i}\right)^4}{12N} \left(\frac{R_i}{g_i}\right)^2 a_{2i} \quad (2.12) \\ C_{4i}^{(s)} = \frac{-1 + 2\left(\frac{R_i}{g_i}\right)^{-2} - \left(\frac{R_i}{g_i}\right)^4}{2N_i} \left(\frac{R_i}{g_i}\right)^{-2} a_{1i} + \frac{-1 + \left(\frac{R_i}{g_i}\right)^4}{2N_i} \left(\frac{R_i}{g_i}\right)^{-2} a_{2i} \\ C_{1i}^{(a)} = \frac{-1 + 2\left(\frac{R_i}{g_i}\right)^{-2} - \left(\frac{R_i}{g_i}\right)^4}{2N} 2A^e_i + \frac{4 - 4\left(\frac{R_i}{g_i}\right)^{-2}}{4N_i} 4A^e_i$$

$$\begin{aligned}
C_{2i}^{(a)} &= \frac{-3 + 2\left(\frac{R_i}{g_i}\right)^{-2} + \left(\frac{R_i}{g_i}\right)^{-4}}{6N_i} 2A_i^e + \frac{4\left(\frac{R_i}{g_i}\right)^{-2} - 4\left(\frac{R_i}{g_i}\right)^{-2}}{12N_i} 4A_i^e \\
C_{3i}^{(a)} &= \frac{-3 + 2\left(\frac{R_i}{g_i}\right)^2 + \left(\frac{R_i}{g_i}\right)^4}{6N} 2A_i^e + \frac{3 - 4\left(\frac{R_i}{g_i}\right)^2 + \left(\frac{R_i}{g_i}\right)^4}{6N} 4A_i^e \\
C_{4i}^{(a)} &= \frac{-1 + 2\left(\frac{R_i}{g_i}\right)^2 - \left(\frac{R_i}{g_i}\right)^4}{2N_i} 2A_i^e + \frac{-1 + \left(\frac{R_i}{g_i}\right)^4}{2N_i} 4A_i^e, \quad N_i = 6 - 4\frac{R_i^4 + g_i^4}{R_i^2 g_i^2} + \frac{R_i^8 + g_i^8}{R_i^4 g_i^4}.
\end{aligned}$$

Найденные перемещения (2.10), (2.11) в упругой зоне при  $r = g_i$  представим в виде

$$\begin{aligned}
u_{ri}^{(1)} \Big|_{r=g_i} &= U_{ri}^g \cos 2q + V_{ri}^g, \\
u_{qi}^{(1)} \Big|_{r=g_i} &= U_{qi}^g \sin 2q + V_{qi}^g
\end{aligned} \tag{2.13}$$

Следуя алгоритму, изложенному в [7], получим соотношения для перемещений в пластической области  $i$ -ого слоя крепи

$$u_{ri}^{(1)} = [-2C_{1i} \cos b_i + 2C_{2i} \sin b_i] \cos 2q + F_{ri} \cos 2q - \frac{c_{3i}}{r}, \tag{2.14}$$

$$u_{qi}^{(1)} = [(C_{1i} + \sqrt{3}C_{2i}) \cos b_i + (C_{1i}\sqrt{3} - C_{2i}) \sin b_i] \sin 2q + F_{qi} \sin 2q + 2c_{4i}r,$$

где

$$\begin{aligned}
F_{ri}(r) &= \left[ -\frac{f_{2i}}{8r^2} \cos b_i(r) + \left( \frac{f_{1i}}{\sqrt{3}} \ln \frac{r}{R_{i-1}} - \sqrt{3} \frac{f_{2i}}{8r^2} \right) \sin b_i(r) \right], \\
F_{qi}(r) &= \left[ \left( \ln \frac{r}{R_{i-1}} \frac{f_{1i}}{2} - \frac{f_{2i}}{4r^2} \right) \cos b_i(r) - \left( \ln \frac{r}{R_{i-1}} \frac{f_{1i}}{2\sqrt{3}} + \frac{f_{2i}}{2\sqrt{3}} \right) \sin b_i(r) \right], \\
b_i(r) &= \sqrt{3} \ln \frac{r}{R_{i-1}}, \quad f_{1i} = 8R_{i-1}A_i d \left( -\frac{1}{2m_i} + c_i T_{1i} \right), \quad f_{2i} = 8R_{i-1}A_i d c_i T_{2i}.
\end{aligned}$$

Учитывая условия сопряжения перемещений на границе  $g_i$  раздела сред упругого и пластического деформирования, получим

$$C_{1i} = \frac{1}{2} [-(U_{ri}^g - F_{ri}^g) \cos b_i + \frac{1}{\sqrt{3}} (2U_{qi}^g + U_{ri}^g - 2F_{qi}^g - F_{ri}^g) \sin b_i]$$

$$C_{2i} = \frac{1}{2} [(U_{ri}^g - F_{ri}^g) \sin b_i + \frac{1}{\sqrt{3}} (2U_{qi}^g + U_{ri}^g - 2F_{qi}^g - F_{ri}^g) \cos b_i]$$

$$c_{3i} = -g_i V_{ri}^g, \quad c_{4i} = \frac{1}{2g_i} V_{qi}^g,$$

где  $F_{ri}^g = F_{ri}(g_i)$ ,  $F_{qi}^g = F_{qi}(g_i)$ ,  $U_{ri}^g = U_{ri}(g_i)$ ,  $U_{qi}^g = U_{qi}(g_i)$ .

Из условия сопряжения компонент тензора напряжений следует, что на невозмущенной упругопластической границе согласно [3] выполняется условие

$$\left[ \mathbf{S}_{qi}^{(0)} + d(\mathbf{S}_{qi}^{(1)} + \frac{d\mathbf{S}_{qi}^{(0)}}{dr} r_{\vartheta(i-1)}^{(1)}) \right] \Big|_{r=g_i} = 0. \tag{2.15}$$

Из линейности функции разрыва следует, что

$$[\mathbf{S}_{qi}^{(0)}] \Big|_{r=g_i} + d([\mathbf{S}_{qi}^{(1)}] \Big|_{r=g_i} + [\frac{d\mathbf{S}_{qi}^{(0)}}{dr}] \Big|_{r=g_i} \mathbf{g}_i^{(1)}) = 0.$$

Так как  $[\mathbf{S}_q^{(0)}] = 0$ , то формула для определения первой итерации первого приближения радиуса упругопластической границы имеет вид

$$\mathbf{g}_i^{(1)} = - \frac{[\mathbf{S}_{qi}^{(1)}] \Big|_{r=g_i}}{[\frac{d\mathbf{S}_{qi}^{(0)}}{dr}] \Big|_{r=g_i}}. \quad (2.16)$$

Следовательно,

$$\begin{aligned} \mathbf{g}_i^{(1)} = & - \left\{ - \frac{4R_{i-1}A_i d}{\mathbf{g}_i} \sin(b_{i0} + \frac{p}{6}) \cos 2q - \frac{B_i}{2} \left( -1 + \frac{\mathbf{g}_i^2}{R_{i-1}^2} \right) + \right. \\ & + 2 \ln \frac{\mathbf{g}_i}{R_{i-1}} + 2 \left. - \left( \frac{\mathbf{g}_i^2}{R_i^2 - \mathbf{g}_i^2} \right) (-a_{oi} B_i - a_{oi} B_i \frac{R_i^2}{\mathbf{g}_i^2}) - \right. \\ & - \frac{1}{2N_i} \left( \left( 2(-1 + 2(\frac{R_i}{\mathbf{g}_i})^2 - (\frac{R_i}{\mathbf{g}_i})^{-4}) \right) + 2(-3 + 2(\frac{R_i}{\mathbf{g}_i})^2 + (\frac{R_i}{\mathbf{g}_i})^4) + \right. \\ & + 4(-3 + 2(\frac{R_i}{\mathbf{g}_i})^{-2} + (\frac{R_i}{\mathbf{g}_i})^{-4}) a_{1i} + \left. \left( (4 - 4(\frac{R_i}{\mathbf{g}_i})^2) + (4(\frac{R_i}{\mathbf{g}_i})^2 - \right. \right. \\ & - 4(\frac{R_i}{\mathbf{g}_i})^4) + \left. \left. (12 - 16(\frac{R_i}{\mathbf{g}_i})^{-2} + 4(\frac{R_i}{\mathbf{g}_i})^{-4}) \right) a_{2i} \right\} d \cos 2q - \\ & - \frac{1}{N_i} \left( 2(3 - 2(\frac{R_i}{\mathbf{g}_i})^{-2} - (\frac{R_i}{\mathbf{g}_i})^4) + 6(-1 + 2(\frac{R_i}{\mathbf{g}_i})^{-2} - (\frac{R_i}{\mathbf{g}_i})^{-4}) + \right. \\ & \left. + 12(1 - 2(\frac{R_i}{\mathbf{g}_i})^2 + (\frac{R_i}{\mathbf{g}_i})^4) \right) A^e_i d \cos 2q \left. \right\} / \left\{ \frac{4m_i}{\mathbf{g}_i} (T_{1i} - \frac{T_{2i}}{2}) \right\}. \quad (2.17) \end{aligned}$$

Таким образом, соотношения (2.4), (2.7 – 2.12), (2.14), (2.17) в первом приближении определяют НДС и положение границы раздела зон упругого и пластического деформирования в *i*-ом слое крепи эллиптического поперечного сечения.

Теперь перейдем к определению НДС массива в окрестности вертикальной выработки эллиптического поперечного сечения.

Граничные условия для напряжений в упругой зоне массива на ее внутренней границе будут иметь вид (2.5), если в них опустить индекс *i* и сделать замену  $q_{i-1} = gh$ ,  $R_{i-1} = R_N = 1$ . На внешней границе области упругого деформирования массива при  $r \rightarrow \infty$  будут иметь место следующие граничные условия:

$$\mathbf{s}_r^{(1)} \Big|_{r \rightarrow \infty} = 0, \mathbf{t}_{rq}^{(1)} \Big|_{r \rightarrow \infty} = 0. \quad (2.18)$$

Тогда согласно [3] первые итерации первых приближений напряжений и перемещений в упругой области массива представимы в виде (2.7) (индекс *i* надо опустить) и определяются соотношениями

$$\begin{aligned}
s_r^{(s)} &= a_o B \frac{g^2}{r^2} - \frac{1}{2} \left\{ [-2(\frac{g}{r})^4 + 4(\frac{g}{r})^2] a_1 + [4(\frac{g}{r})^4 - 4(\frac{g}{r})^2] a_2 \right\} d \cos 2q \\
s_q^{(s)} &= -a_o B \frac{g^2}{r^2} - \frac{1}{2} \left\{ 2(\frac{g}{r})^4 a_1 - 4(\frac{g}{r})^4 a_2 \right\} d \cos 2q
\end{aligned} \tag{2.19}$$

$$\begin{aligned}
t_{rq}^{(s)} &= -\frac{1}{2} \left\{ [-2(\frac{g}{r})^4 + 2(\frac{g}{r})^2] a_1 + [4(\frac{g}{r})^4 - 2(\frac{g}{r})^2] a_2 \right\} d \sin 2q \\
s_r^{(a)} &= 0, s_q^{(a)} = 0, t_{rq}^{(a)} = 0
\end{aligned} \tag{2.20}$$

$$\begin{aligned}
u_r^{(s)} &= -\frac{a_o B g^2}{2m r} - \frac{1}{3m} \left[ (\frac{g}{r})^3 \left( \frac{1}{2} a_1 - a_2 \right) - 2 \frac{g}{r} (a_1 - a_2) \right] g d \cos 2q \\
u_q^{(s)} &= -\frac{1}{3m} \left[ (\frac{g}{r})^3 \left( \frac{1}{2} a_1 - a_2 \right) + \frac{1}{2} \frac{g}{r} (a_1 - a_2) \right] g d \sin 2q
\end{aligned} \tag{2.21}$$

$$u_r^{(a)} = 0, u_q^{(a)} = 0. \tag{2.22}$$

Здесь  $a_o = -\frac{1}{2}((1-g^2) + 2 \ln g)$ ,  $a_1 = -\frac{4A}{r} \sin(b_0 - \frac{p}{6})$ ,  $b_0 = \sqrt{3} \ln g$ ,  $a_2 = \frac{4A}{g} \cos b_0$ .

Перемещения в пластической зоне массива для первой итерации будут определяться соотношениями (2.14), если в них опустить индекс  $i$  и сделать замену  $q_{i-1} = q_N$ ,  $R_{i-1} = R_N = 1$ .

Радиус упруго-пластической границы определяется в виде

$$\begin{aligned}
g^{(1)} &= -\left\{ -\frac{4Ad}{g} \sin(b_0 + \frac{p}{6}) \cos 2q - \frac{B}{2} (-(1+g^2) + 2 \ln g + 2) - \right. \\
&\quad \left. -(-a_o B - \frac{1}{2} \{2a_1 - 4a_2\} d \cos 2q) \right\} / \left\{ \frac{4m}{g} (T_1 - \frac{T_2}{g^2}) \right\}.
\end{aligned} \tag{2.23}$$

Таким образом, соотношения (2.5), (2.7) (в них следует опустить индекс  $i$  и заменить  $q_{i-1} = gh$ ,  $R_{i-1} = R_N = 1$ ), (2.19) – (2.23) определяют НДС и положение границы раздела зон упругого и пластического деформирования в массиве горных пород около вертикальной выработки эллиптического поперечного сечения.

3. Далее рассмотрим задачу об определении полей напряжений и перемещений для области: а) массива около вертикальной подкрепленной выработки с поперечным сечением, близким к правильному многоугольнику, и б) многослойной крепи, состоящей из  $N$  слоев, поперечные сечения которых имеют форму колец (внешний и внутренний контур близки по форме к правильному  $m$ -угольнику). Так же, как и в рассмотренной выше задаче, решение будем искать для  $i$ -ого слоя крепи ( $i=1,2,\dots,N$ ) и приконтурной области массива. Ограничимся случаем первого приближения первой итерации.

НДС, соответствующее  $i$ -ому слою крепи будем определять в рамках схемы, что и в предыдущей задаче.

Граничные условия на нормальные  $S_{ni}$  и касательные  $S_{ni}$  напряжения для  $i$ -го слоя крепи ( $r_{m(i-1)}$  – внутренний радиус  $i$ -ого слоя,  $r_{mi}$  – внешний радиус), с учетом (1.2) и (1.7) имеют соответственно вид

$$s_{ri}^{(1)} \Big|_{r=R_{i-1}} = -2A_i \cos mq, t_{rqi}^{(1)} \Big|_{r=R_{i-1}} = -2mA_i \sin mq, \tag{3.1}$$

где 
$$A_i = 2m_i(T_{1i} + \frac{D_i + T_{2i}}{R_{i-1}^2}).$$

Тогда напряжения в пластической зоне с учетом (3.1) будут иметь вид

$$\begin{aligned} s_{r_i}^{(1)} &= \frac{2}{r} R_{i-1} A_i d (\sqrt{m^2 - 1} \sin b_i - \cos b_i) \cos m\varphi - \frac{B_i}{2} (g_i^2 (\frac{1}{r^2} - \frac{1}{R_{i-1}^2}) + 2 \ln \frac{r}{R_{i-1}}), \\ s_{q_i}^{(1)} &= s_{r_i}^{p(1)} + B_i (\frac{g_i^2}{r^2} - 1) = \frac{2}{r} R_{i-1} A_i d (\sqrt{m^2 - 1} \sin b_i + \cos b_i) \cos m\varphi - \\ &- \frac{B_i}{2} (-g_i^2 (\frac{1}{r^2} + \frac{1}{R_{i-1}^2}) + 2 \ln \frac{r}{R_{i-1}} + 2), \\ t_{r\varphi_i}^{(1)} &= -\frac{2mR_{i-1}A_i d}{r} \cos b_i \sin m\varphi. \end{aligned} \quad (3.2)$$

Здесь 
$$B_i = 2(c_i T_{1i} + h_i \frac{R_i}{R_{i-1}}), b_i = \sqrt{m^2 - 1} \ln \frac{r}{R_{i-1}}.$$

Эти соотношения будут справедливы и для пластической области массива, если в них опустить индекс  $i$  и сделать замену  $q_{i-1} = q_N$ ,  $R_{i-1} = R_N = 1$ .

По условию сопряжения напряжений на упругопластической границе  $g_i$ , следуя [7] получим граничные условия для напряжений в упругой зоне  $i$ -ого слоя крепи на ее внутренней границе:

$$s_{r_i}^{e(1)} \Big|_{r=g_i} = a_{0i} B_i - a_{1i} \cos m\varphi, \quad t_{r\theta_i}^{e(1)} \Big|_{r=g_i} = -a_{2i} \sin m\varphi, \quad (3.3)$$

где  $b_{0i} = \sqrt{m^2 - 1} \ln \frac{g_i}{R_{i-1}}$ ,  $a_{1i} = -\frac{2}{g_i} R_{i-1} A_i (\sqrt{m^2 - 1} \sin b_{0i} - \cos b_{0i})$ ,  $a_{2i} = \frac{2mR_{i-1}A_i}{g_i} \cos b_{0i}$ .

На внешней границе области упругого деформирования  $i$ -ого слоя будут иметь место следующие граничные условия:

$$s_{r_i}^{e(1)} \Big|_{r=R_i} = -2A_i^e d \cos m\varphi, \quad t_{r\varphi_i}^{p(1)} \Big|_{r=R_i} = -2mA_i^e d \sin m\varphi. \quad (3.4)$$

Используя (3.3), (3.4) первые итерации первых приближений напряжений и перемещений в упругой области, аналогично предыдущей задаче получим в виде – внутренние составляющие напряжений

$$\begin{aligned}
S_{ri}^{(S)} &= \frac{g_i^2}{R_i^2 - g_i^2} (-a_{oi} B_i + a_{oi} B_i \frac{R_i^2}{r^2}) - \frac{1}{2N} \{ m[(m-1) - m(\frac{R_i}{g_i})^2 + (\frac{R_i}{g_i})^{-2m}] (\frac{r}{g_i})^{m-2} + \\
&+ m[(m+1) - m(\frac{R_i}{g_i})^2 - (\frac{R_i}{g_i})^{2m}] (\frac{r}{g_i})^{-(m+2)} + (m-2)[(m+1) - m(\frac{R_i}{g_i})^{-2} - (\frac{R_i}{g_i})^{-2m}] (\frac{r}{g_i})^m + \\
&+ (m+2)[(m-1) - m(\frac{R_i}{g_i})^{-2} + (\frac{R_i}{g_i})^{2m}] (\frac{r}{g_i})^{-m} \} a_{1i} + \\
&+ \{ [-(m-1)(m+2) + m^2(\frac{R_i}{g_i})^2 + (m-2)(\frac{R_i}{g_i})^{-2m}] (\frac{r}{g_i})^{m-2} + \\
&+ [(m-2)(m+1) - m^2(\frac{R_i}{g_i})^2 + (m+2)(\frac{R_i}{g_i})^{2m}] (\frac{r}{g_i})^{-(m+2)} + [-(m-2)(m+1) + \\
&+ (m^2 - 4)(\frac{R_i}{g_i})^{-2} - (m-2)(\frac{R_i}{g_i})^{-2m}] (\frac{r}{g_i})^m + [(m-1)(m+2) - (m^2 - 4)(\frac{R_i}{g_i})^{-2} - \\
&- (m+2)(\frac{R_i}{g_i})^{2m}] (\frac{r}{g_i})^{-m} \} a_{2i} \} d \cos mq, \\
S_{qi}^{(S)} &= \frac{g_i^2}{R_i^2 - g_i^2} (-a_{oi} B_i - a_{oi} B_i \frac{R_i^2}{r^2}) - \frac{1}{2N_i} \{ m[-(m-1) + m(\frac{R_i}{g_i})^2 - (\frac{R_i}{g_i})^{-2m}] (\frac{r}{g_i})^{m-2} + \\
&+ m[-(m+1) + m(\frac{R_i}{g_i})^2 + (\frac{R_i}{g_i})^{2m}] (\frac{r}{g_i})^{-(m+2)} + (m+2)[-(m+1) + m(\frac{R_i}{g_i})^{-2} + (\frac{R_i}{g_i})^{-2m}] (\frac{r}{g_i})^m + \\
&+ (m-2)[-(m-1) + m(\frac{R_i}{g_i})^{-2} - (\frac{R_i}{g_i})^{2m}] (\frac{r}{g_i})^{-m} \} a_{1i} + \{ [(m-1)(m+2) - m^2(\frac{R_i}{g_i})^2 - (m-2)(\frac{R_i}{g_i})^{-2m}] (\frac{r}{g_i})^{m-2} + \\
&+ [-(m-2)(m+1) + m^2(\frac{R_i}{g_i})^2 - (m+2)(\frac{R_i}{g_i})^{2m}] (\frac{r}{g_i})^{-(m+2)} + [(m+1)(m+2) - (m+2)^2(\frac{R_i}{g_i})^{-2} + \\
&+ (m+2)(\frac{R_i}{g_i})^{-2m}] (\frac{r}{g_i})^m + [-(m-1)(m-2) + (m-2)^2(\frac{R_i}{g_i})^{-2} + (m-2)(\frac{R_i}{g_i})^{2m}] (\frac{r}{g_i})^{-m} \} a_{2i} \} \cos mq \quad (3.5) \\
t_{rq i}^{(S)} &= -\frac{1}{2N_i} \{ [m(-(m-1) + m(\frac{R_i}{g_i})^2 - (\frac{R_i}{g_i})^{-2m}) (\frac{r}{g_i})^{m-2} + m((m+1) - \\
&- m(\frac{R_i}{g_i})^2 - (\frac{R_i}{g_i})^{2m}) (\frac{r}{g_i})^{-(m+2)} + m(-(m+1) + m(\frac{R_i}{g_i})^{-2} + (\frac{R_i}{g_i})^{-2m}) (\frac{r}{g_i})^m + m((m-1) - \\
&- m(\frac{R_i}{g_i})^{-2} + (\frac{R_i}{g_i})^{2m}) (\frac{r}{g_i})^{-m} \} a_{1i} + \{ [(m-1)(m+2) - m^2(\frac{R_i}{g_i})^2 - (m-2)(\frac{R_i}{g_i})^{-2m}] (\frac{r}{g_i})^{m-2} + \\
&+ ((m-2)(m+1) - m^2(\frac{R_i}{g_i})^2 + (m+2)(\frac{R_i}{g_i})^{2m}) (\frac{r}{g_i})^{-(m+2)} + (m(m+1) - m(m+2)(\frac{R_i}{g_i})^{-2} + \\
&+ m(\frac{R_i}{g_i})^{-2m}) (\frac{r}{g_i})^m + (m(m-1) - m(m-2)(\frac{R_i}{g_i})^{-2} - m(\frac{R_i}{g_i})^{2m}) (\frac{r}{g_i})^{-m} \} a_{2i} \} \sin mq,
\end{aligned}$$

– внешние составляющие напряжений

$$\begin{aligned}
S_{ri}^{(a)} = & -\frac{1}{N_i} \{ m[-(m-1)(m+1) + m(m-1)\left(\frac{R_i}{g_i}\right)^{-2} + (m-1)\left(\frac{R_i}{g_i}\right)^{2m}] \left(\frac{r}{R_i}\right)^{m-2} + \\
& + m[(m+1)(m-1) - m(m+1)\left(\frac{R_i}{g_i}\right)^{-2} + (m+1)\left(\frac{R_i}{g_i}\right)^{-2m}] \left(\frac{r}{R_i}\right)^{-(m+2)} + \\
& + (m-2)[-(m-1)(m+1) + m(m+1)\left(\frac{R_i}{g_i}\right)^2 - (m+1)\left(\frac{R_i}{g_i}\right)^{2m}] \left(\frac{r}{R_i}\right)^m + \\
& + (m+2)[(m-1)(m+1) - m(m-1)\left(\frac{R_i}{g_i}\right)^2 - (m-1)\left(\frac{R_i}{g_i}\right)^{-2m}] \left(\frac{r}{R_i}\right)^{-m} \} A^e_i d \cos mq
\end{aligned} \tag{3.6}$$

$$\begin{aligned}
S_{qi}^{(a)} = & -\frac{1}{N_i} \{ m(m-1)[(m+1) - m\left(\frac{R_i}{g_i}\right)^{-2} - \left(\frac{R_i}{g_i}\right)^{2m}] \left(\frac{r}{R_i}\right)^{m-2} + m(m+1)[-(m-1) + \\
& + m\left(\frac{R_i}{g_i}\right)^{-2} - \left(\frac{R_i}{g_i}\right)^{-2m}] \left(\frac{r}{R_i}\right)^{-(m+2)} + (m+1)(m+2)[(m-1) - m\left(\frac{R_i}{g_i}\right)^2 + \left(\frac{R_i}{g_i}\right)^{2m}] \left(\frac{r}{R_i}\right)^m + \\
& + (m-2)(m-1)[-(m+1) + m\left(\frac{R_i}{g_i}\right)^2 + \left(\frac{R_i}{g_i}\right)^{-2m}] \left(\frac{r}{R_i}\right)^{-m} \} A^e_i d \cos mq
\end{aligned}$$

$$\begin{aligned}
t_{rq\ i}^{(a)} = & -\frac{m}{N_i} \{ (m-1)[(m+1) - m\left(\frac{R_i}{g_i}\right)^{-2} - \left(\frac{R_i}{g_i}\right)^{2m}] \left(\frac{r}{R_i}\right)^{m-2} + (m+1)[(m-1) - m\left(\frac{R_i}{g_i}\right)^{-2} + \\
& + \left(\frac{R_i}{g_i}\right)^{-2m}] \left(\frac{r}{R_i}\right)^{-(m+2)} + (m+1)[(m-1) - m\left(\frac{R_i}{g_i}\right)^2 + \left(\frac{R_i}{g_i}\right)^{2m}] \left(\frac{r}{R_i}\right)^m + (m-1)[(m+1) - m\left(\frac{R_i}{g_i}\right)^2 - \\
& - \left(\frac{R_i}{g_i}\right)^{-2m}] \left(\frac{r}{R_i}\right)^{-m} \} A^e_i \sin mq,
\end{aligned}$$

– внутренние составляющие перемещений

$$\begin{aligned}
u_{ri}^{(S)} = & \frac{-g_i^2}{6m_i(R_i^2 - g_i^2)} [a_{0i}B_i + 3a_{0i}B_i \frac{R_i^2}{r^2}] r - \frac{1}{3m_i} [-\frac{3}{2}mC_{1i}^{(S)} \left(\frac{r}{R_i}\right)^{m-1} + \\
& + \frac{3}{2}mC_{2i}^{(S)} \left(\frac{r}{R_i}\right)^{-(m+1)} - (\frac{3}{2}m-1)C_{3i}^{(S)} \left(\frac{r}{R_i}\right)^{m+1} + (\frac{3}{2}m+1)C_{4i}^{(S)} \left(\frac{r}{R_i}\right)^{-(m-1)}] R_i d \cos mq \\
u_{qi}^{(S)} = & -\frac{1}{3m} [\frac{3}{2}mC_{1i}^{(S)} \left(\frac{r}{R_i}\right)^{m-1} + \frac{3}{2}mC_{2i}^{(S)} \left(\frac{r}{R_i}\right)^{-(m+1)} + (\frac{3}{2}m+4)C_{3i}^{(S)} \left(\frac{r}{R_i}\right)^{m+1} + \\
& + (\frac{3}{2}m-4)C_{4i}^{(S)} \left(\frac{r}{R_i}\right)^{-(m-1)}] R_i d \sin mq,
\end{aligned} \tag{3.7}$$

– внешние составляющие перемещений

$$\begin{aligned}
u_{ri}^{(a)} = & -\frac{1}{3m_i} [-\frac{3}{2}mC_{1i}^{(a)} \left(\frac{r}{R_i}\right)^{m-1} + \frac{3}{2}mC_{2i}^{(a)} \left(\frac{r}{R_i}\right)^{-(m+1)} - (\frac{3}{2}m-1)C_{3i}^{(a)} \left(\frac{r}{R_i}\right)^{m+1} + \\
& + (\frac{3}{2}m+1)C_{4i}^{(a)} \left(\frac{r}{R_i}\right)^{-(m-1)}] R_i d \cos mq
\end{aligned}$$

$$\begin{aligned}
u_{qi}^{(a)} = & -\frac{1}{3m} \left[ \frac{3}{2} m C_{1i}^{(a)} \left(\frac{r}{R_i}\right)^{m-1} + \frac{3}{2} m C_{2i}^{(a)} \left(\frac{r}{R_i}\right)^{-(m+1)} + \left(\frac{3}{2} m + 4\right) C_{3i}^{(a)} \left(\frac{r}{R_i}\right)^{m+1} + \right. \\
& \left. + \left(\frac{3}{2} m - 4\right) C_{4i}^{(a)} \left(\frac{r}{R_i}\right)^{-(m-1)} \right] R_i d \sin mq.
\end{aligned} \tag{3.8}$$

В соотношениях (3.7), (3.8) константы определяются по формулам

$$\begin{aligned}
C_{1i}^{(S)} = & \frac{-(m-1) + m \left(\frac{R_i}{g_i}\right)^2 - \left(\frac{R_i}{g_i}\right)^{-2m}}{2(m-1)N_i} \left(\frac{R_i}{g_i}\right)^{-(m-2)} a_{1i} + \\
& + \frac{(m-1)(m+2) - m^2 \left(\frac{R_i}{g_i}\right)^2 - (m-2) \left(\frac{R_i}{g_i}\right)^{-2m}}{2m(m-1)N_i} \left(\frac{R_i}{g_i}\right)^{m-2} a_{2i} \\
C_{2i}^{(Si)} = & \frac{-(m+1) + m \left(\frac{R_i}{g_i}\right)^2 + \left(\frac{R_i}{g_i}\right)^{2m}}{2(m+1)N_i} \left(\frac{R_i}{g_i}\right)^{-(m+2)} a_{1i} + \\
& + \frac{-(m-2)(m+1) + m^2 \left(\frac{R_i}{g_i}\right)^2 - (m+2) \left(\frac{R_i}{g_i}\right)^{2m}}{2m(m+1)N_i} \left(\frac{R_i}{g_i}\right)^{-(m+2)} a_{2i} \\
C_{3i}^{(S)} = & \frac{-(m+1) + m \left(\frac{R_i}{g_i}\right)^{-2} + \left(\frac{R_i}{g_i}\right)^{-2m}}{2(m+1)N_i} \left(\frac{R_i}{g_i}\right)^m a_{1i} + \\
& + \frac{(m+1) - (m+2) \left(\frac{R_i}{g_i}\right)^{-2} + \left(\frac{R_i}{g_i}\right)^{-2m}}{2m(m+1)N_i} \left(\frac{R_i}{g_i}\right)^m a_{2i} \\
C_{4i}^{(S)} = & \frac{-(m-1) + m \left(\frac{R_i}{g_i}\right)^{-2} - \left(\frac{R_i}{g_i}\right)^{2m}}{2(m-1)N_i} \left(\frac{R_i}{g_i}\right)^{-m} a_{1i} + \\
& + \frac{-(m-1) + (m-2) \left(\frac{R_i}{g_i}\right)^{-2} + \left(\frac{R_i}{g_i}\right)^{2m}}{2(m-1)N} \left(\frac{R_i}{g_i}\right)^{-m} a_{2i}
\end{aligned} \tag{3.9}$$

$$\begin{aligned}
C_{1i}^{(a)} &= \frac{-(m-1) + m\left(\frac{R_i}{g_i}\right)^{-2} - \left(\frac{R_i}{g_i}\right)^{2m}}{2(m-1)N_i} 2A_i^e + \\
&+ \frac{(m-1)(m+2) - m^2\left(\frac{R_i}{g_i}\right)^{-2} - (m-2)\left(\frac{R_i}{g_i}\right)^{2m}}{2m(m-1)N_i} 2mA_i^e \\
C_{2i}^{(a)} &= \frac{-(m+1) + m\left(\frac{R_i}{g_i}\right)^{-2} + \left(\frac{R_i}{g_i}\right)^{-2m}}{2(m+1)N_i} 2A_i^e + \\
&+ \frac{-(m-2)(m+1) + m^2\left(\frac{R_i}{g_i}\right)^{-2} - (m+2)\left(\frac{R_i}{g_i}\right)^{-2m}}{2m(m-1)N_i} 2mA_i^e \\
C_{3i}^{(a)} &= \frac{-(m+1) + m\left(\frac{R_i}{g_i}\right)^2 + \left(\frac{R_i}{g_i}\right)^{2m}}{2(m+1)N_i} 2A_i^e + \\
&+ \frac{(m+1) - (m+2)\left(\frac{R_i}{g_i}\right)^2 + \left(\frac{R_i}{g_i}\right)^{2m}}{2(m-1)N_i} 2mA_i^e \\
C_{4i}^{(a)} &= \frac{-(m-1) + m\left(\frac{R_i}{g_i}\right)^2 - \left(\frac{R_i}{g_i}\right)^{-2m}}{2(m-1)N} 2A_i^e + \\
&+ \frac{-(m-1) + (m-2)\left(\frac{R_i}{g_i}\right)^2 + \left(\frac{R_i}{g_i}\right)^{-2m}}{2(m-1)N} 2mA_i^e \\
N_i &= 2(m^2 - 1) - m^2 \frac{R_i^4 + g_i^4}{R_i^2 g_i^2} + \frac{R_i^{4m} + g_i^{4m}}{R_i^{2m} g_i^{2m}}.
\end{aligned}$$

Найденные перемещения (3.7), (3.8) в упругой зоне при  $r = g_i$  представим в виде

$$\begin{aligned}
u_{ri}^{e(1)} \Big|_{r=g_i} &= U_{ri}^g \cos m\mathbf{q} + V_{ri}^g \\
u_{qi}^{e(1)} \Big|_{r=g_i} &= U_{qi}^g \sin m\mathbf{q} + U_{qi}^g.
\end{aligned} \tag{3.10}$$

Перемещения в пластической зоне определяются соотношениями

$$u_{ri}^{(1)} = [-mC_{1i} \cos \mathbf{b}_i + mC_{2i} \sin \mathbf{b}_i] \cos m\mathbf{q} + F_{ri} \cos m\mathbf{q} - \frac{C_{3i}}{r}, \tag{3.11}$$

$$u_{qi}^{(1)} = [(C_{1i} + \sqrt{m^2 - 1} \cdot C_{2i}) \cos \mathbf{b}_i + (\sqrt{m^2 - 1} \cdot C_{1i} - C_{2i}) \sin \mathbf{b}_i] \sin m\mathbf{q} + F_{qi} \sin m\mathbf{q} + 2c_{4i} r$$

$$\text{где } F_{ri}(r) = \left[ -\frac{f_{2i}}{4mr^2} \cos \mathbf{b}_i(r) + \left( \frac{mf_{1i}}{2\sqrt{m^2 - 1}} \ln \frac{r}{R_{i-1}} - \sqrt{m^2 - 1} \frac{f_{2i}}{4mr^2} \right) \sin \mathbf{b}_i(r) \right]$$

$$F_{qi}(r) = \left[ \left( \frac{f_{1i}}{2} \ln \frac{r}{R_{i-1}} - \frac{f_{2i}}{4r^2} \right) \cos b_i(r) - \left( \frac{f_{1i}}{2\sqrt{m^2-1}} \ln \frac{r}{R_{i-1}} + \frac{f_{1i}}{2\sqrt{m^2-1}} \right) \sin b_i(r) \right].$$

Из условия сопряжения перемещений на границе  $g_i$  раздела сред упругого и пластического деформирования получим

$$C_{1i} = \frac{1}{m} [-(U_{ri}^g - F_{ri}^g) \cos b_i + \frac{1}{\sqrt{m^2-1}} (mU_{qi}^g + U_{ri}^g - mF_{qi}^g - F_{ri}^g) \sin b_i],$$

$$C_{2i} = \frac{1}{m} [(U_{ri}^g - F_{ri}^g) \sin b_i + \frac{1}{\sqrt{m^2-1}} (mU_{qi}^g + U_{ri}^g - mF_{qi}^g - F_{ri}^g) \cos b_i],$$

$$c_{3i} = -g_i V_{ri}^g, \quad c_{4i} = \frac{1}{2g_i} V_{qi}^g, \quad \text{где } F_{ri}^g = F_{ri}(g_i) \text{ и } F_{qi}^g = F_{qi}(g_i).$$

Граница раздела упругой и пластической областей определяется в виде

$$\begin{aligned} g_i^{(1)} = & -\left\{ -\frac{2}{g_i} R_{i-1} A_i d (\sqrt{m^2-1} \sin b_{i0} + \cos b_{i0}) \cos mq - \right. \\ & - \frac{B_i}{2} \left( -1 + \frac{g_i^2}{R_{i-1}^2} \right) + 2 \ln \frac{g_i}{R_{i-1}} + 2 \left( -\frac{g_i^2}{R_i^2 - g_i^2} (-a_{oi} B_i - a_{oi} B_i \frac{R_i^2}{g_i^2}) - \right. \\ & - \frac{1}{2N_i} \left\{ m[-(m-1) + m(\frac{R_i}{g_i})^2 - (\frac{R_i}{g_i})^{-2m}] + m[-(m+1) + \right. \quad (3.12) \\ & + m(\frac{R_i}{g_i})^2 + (\frac{R_i}{g_i})^{2m}] + (m+2)[-(m+1) + m(\frac{R_i}{g_i})^{-2} + \\ & + (\frac{R_i}{g_i})^{-2m}] + (m-2)[-(m-1) + m(\frac{R_i}{g_i})^{-2} - (\frac{R_i}{g_i})^{2m}] \left. \right\} a_{1i} + \\ & + \left\{ [(m-1)(m+2) - m^2(\frac{R_i}{g_i})^2 - (m-2)(\frac{R_i}{g_i})^{-2m}] + \right. \\ & + [-(m-2)(m+1) + m^2(\frac{R_i}{g_i})^2 - (m+2)(\frac{R_i}{g_i})^{2m}] + \\ & + [(m+1)(m+2) - (m+2)^2(\frac{R_i}{g_i})^{-2} + (m+2)(\frac{R_i}{g_i})^{-2m}] + \\ & + [-(m-1)(m-2) + (m-2)^2(\frac{R_i}{g_i})^{-2} + (m-2)(\frac{R_i}{g_i})^{2m}] \left. \right\} a_{2i} \left. \right\} d \cos mq - \\ & - \frac{1}{N_i} \left\{ m(m-1)[(m+1) - m(\frac{R_i}{g_i})^{-2} - (\frac{R_i}{g_i})^{2m}] + m(m+1)[-(m-1) + \right. \\ & + m(\frac{R_i}{g_i})^{-2} - (\frac{R_i}{g_i})^{-2m}] + (m+1)(m+2)[(m-1) - m(\frac{R_i}{g_i})^2 + \\ & + (\frac{R_i}{g_i})^{2m}] + (m-2)(m-1)[-(m+1) + m(\frac{R_i}{g_i})^2 + \\ & + (\frac{R_i}{g_i})^{-2m}] \left. \right\} A_i^e d \cos mq \left. \right\} / \left\{ \frac{4m_i}{g_i} (T_i - \frac{T_{2i}}{g_i^2}) \right\} \end{aligned}$$

Таким образом, соотношения (3.2), (3.5) – (3.9), (3.11), (3.12) определяют НДС и положение границы раздела упругой и пластической областей в  $i$ -ом слое крепи, правильной многоугольной формы поперечного сечения.

НДС массива в окрестности вертикальной выработки многоугольного поперечного сечения будем определять так же в рамках [3].

Первые итерации первых приближений напряжений и перемещений в упругой области массива представимы в виде (2.7) (индекс  $i$  надо опустить) и согласно [3] определяются соотношениями

$$\begin{aligned} s_r^{(S)} &= a_o B \frac{g^2}{r^2} - \frac{1}{2} \{ [-m(\frac{g}{r})^{m+2} + (m+2)(\frac{g}{r})^m ] a_1 + [(m+2)(\frac{g}{r})^{m+2} - (m+2)(\frac{g}{r})^m ] a_2 \} d \cos mq , \\ s_q^{(S)} &= -a_o B \frac{g^2}{r^2} - \frac{1}{2} \{ [m(\frac{g}{r})^{m+2} - (m-2)(\frac{g}{r})^m ] a_1 + [-(m+2)(\frac{g}{r})^{m+2} + (m-2)(\frac{g}{r})^m ] a_2 \} d \cos mq , \\ t_{rq}^{(S)} &= -\frac{1}{2} \{ [-m(\frac{g}{r})^{m+2} + m(\frac{g}{r})^m ] a_1 + [(m+2)(\frac{g}{r})^{m+2} - m(\frac{g}{r})^m ] a_2 \} d \sin mq , \end{aligned} \quad (3.13)$$

$$s_r^{(a)} = 0, s_q^{(a)} = 0, t_{rq}^{(a)} = 0, \quad (3.14)$$

$$\begin{aligned} u_r^{(S)} &= -\frac{a_o B g^2}{2m r} - \frac{1}{3m} \left[ \left( \frac{g}{r} \right)^3 \left( \frac{1}{2} a_1 - a_2 \right) - 2 \frac{g}{r} (a_1 - a_2) \right] g d \cos mq , \\ u_q^{(S)} &= -\frac{1}{3m} \left[ \left( \frac{g}{r} \right)^3 \left( \frac{1}{2} a_1 - a_2 \right) + \frac{1}{2} \frac{g}{r} (a_1 - a_2) \right] g d \sin mq , \end{aligned} \quad (3.15)$$

$$u_r^{(a)} = 0, u_q^{(a)} = 0. \quad (3.16)$$

Перемещения в пластической зоне массива для первой итерации будут определяться соотношениями (3.11), если в них опустить индекс  $i$  и сделать замену  $q_{i-1} = q_N$ ,  $R_{i-1} = R_N = 1$ .

Радиус упругопластической границы находится по формуле

$$\begin{aligned} g_i^{(1)} &= -\left\{ -\frac{2}{g} A d (\sqrt{m^2 - 1} \sin b_0 + \cos b_0) \cos mq - \frac{B}{2} (-1 + g^2) + \right. \\ &\quad \left. + 2 \ln g + 2 \right\} - (-a_o B - \{ a_1 - 2a_2 \} d \cos mq) / \left\{ \frac{4m}{g} \left( T_1 - \frac{T_2}{g^2} \right) \right\}. \end{aligned} \quad (3.17)$$

Таким образом, соотношения (2.7), (3.2), (3.11) (в них надо опустить индекс  $i$  и заменить  $q_{i-1} = q_N$ ,  $R_{i-1} = R_N = 1$ ), (3.13) – (3.17) определяют НДС и положение границы раздела упругой и пластической зон в массиве горных пород около вертикальной выработки с поперечным сечением, близким по форме к правильному  $m$  – угольнику.

На основе полученных аналитических решений проведены численные расчеты, результаты которых представлены на рис.1–7.

На рис.1 представлена зависимость радиуса упругопластической границы  $g_i$  в  $i$ -ом слое круговой крепи (нулевое приближение) от времени  $t$ . При этом значения безразмерных характеристик принимались следующими: давление на внешнем ( $R_i = 0.8$ ) и внутреннем ( $R_{i-1} = 0.5$ ) контурах  $q_i = 1.9$ ,  $q_{i-1} = 1$  соответственно; модуль сдвига и предел

текучности  $m_i = 1$ ,  $k_i = 1$ . Кривая 1 соответствует  $c_i = 0.2$ ,  $h_i = 0.001$ ; кривая 2 –  $c_i = 0$ ,  $h_i = 0.001$ ; кривая 3 –  $c_i = 0.2$ ;  $h_i = 0$ , кривая 4 –  $c_i = 0$ ;  $h_i = 0$ .

На рис.2 – 7 показана зависимость границы  $g_i$  раздела зон упругого и пластического деформирования в  $i$ -ом слое крепи от угла  $q$  для случаев: 1) эллиптической (рис.2– 4) и 2) близкой к правильной восьмиугольной (рис.5– 7) формы поперечного сечения. При этом на рис.2– 7 внутренняя и внешняя замкнутые кривые соответствуют внутреннему и внешнему контуру  $i$ -ого слоя крепи, модуль сдвига и предел текучести  $m_i = 1$ ,  $k_i = 1$ .

На рис.2 – 4 для случая 1) показано изменение пластической области в зависимости от временного параметра  $t$ , параметра упрочнения  $c$ , коэффициента вязкости  $h$  соответственно. Здесь величина малого параметра  $dd = 0.005$ , параметры нагружения  $q_{i-1} = 1$ ,  $q_i = 1.9$ . На рис.2 кривая 1 соответствует моменту времени  $t=0.0005$ , кривая 2 –  $t=0.001$ , кривая 3 –  $t=10$ , при этом  $c_i = 0.2$ ,  $h_i = 0.001$ . На рис.3. кривая 1 соответствует  $c_i=0.2$ , кривая 2 –  $c_i=0.1$ , кривая 3 –  $c_i=0$ , при этом  $t=1$ ,  $h_i=0.001$ . На рис.4. кривая 1 соответствует  $h_i=0.005$ , кривая 2 –  $h_i=0.001$ , кривая 3 –  $h_i=0$ , при этом  $t=1$ ,  $c=0.2$ . Аналогичные зависимости представлены на рис.5 – 7. для случая 2), при этом  $dd = 0.013$ .

Из анализа численного эксперимента следует, что:

- пластическая область начинает зарождаться с внутреннего контура  $i$ -ого слоя крепи, т.е. при  $t=0$  граница раздела зон упругого и пластического деформирования совпадает с внутренним контуром (рис. 1);
- с ростом времени  $t$  пластическая область расширяется до определенного значения, соответствующего моменту времени  $t^* \approx 1$ , при этом дальнейший рост времени приводит к тому, что полученные кривые практически совпадают с кривой соответствующей случаю упругопластической среды (рис.1, рис.2, рис.5), то есть имеет место ограниченная ползучесть;
- при увеличении коэффициента упрочнения  $c$  пластическая область сужается (рис.3–6), при этом  $t > t^*$ . Тот же эффект наблюдается и с ростом вязкости  $h_i$  (рис.4–7), при этом  $t < t^*$ .

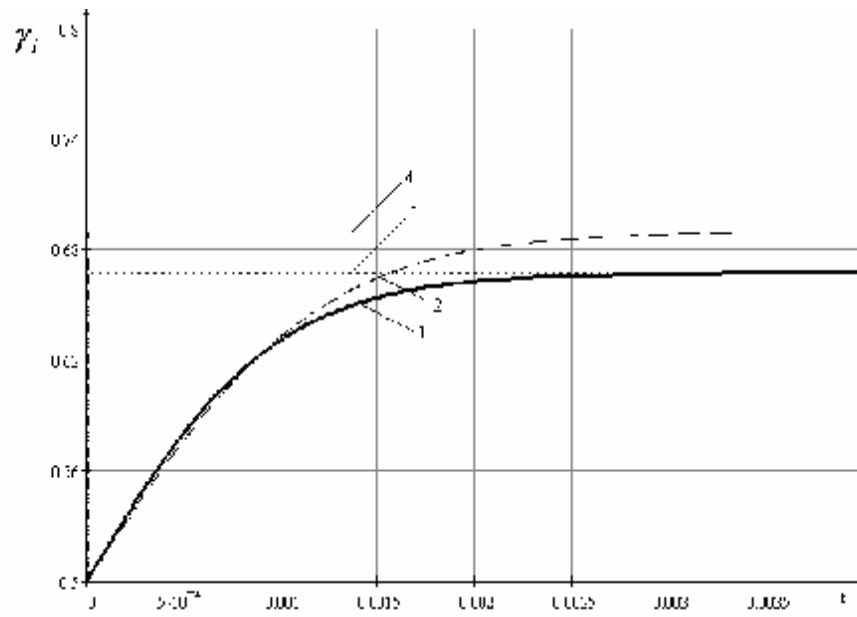


Рис.1

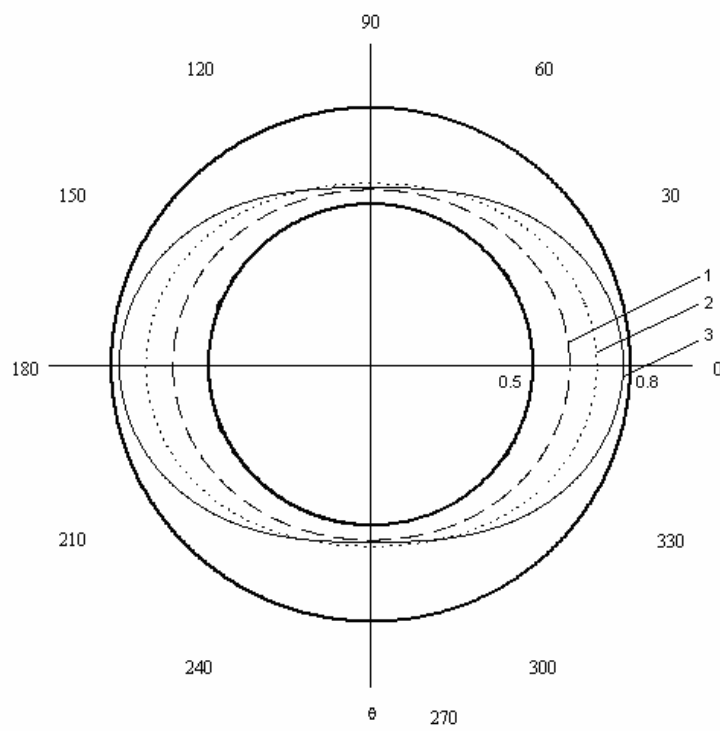
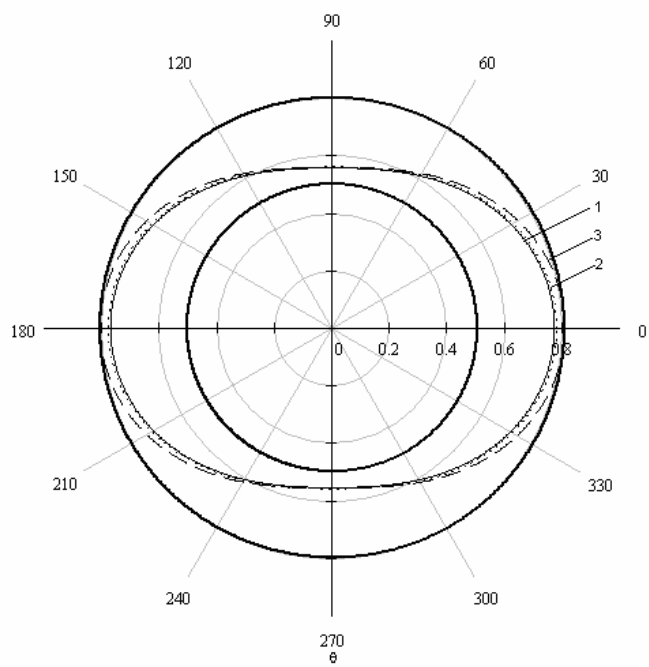
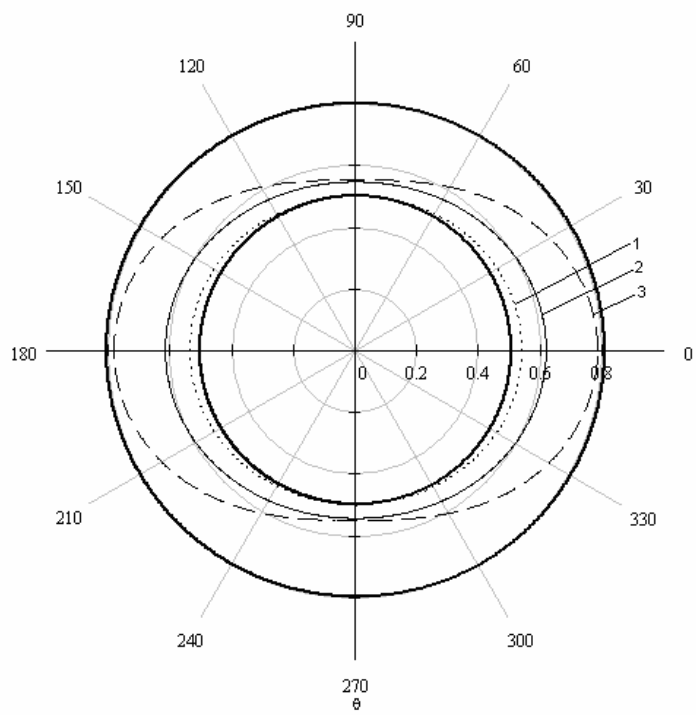


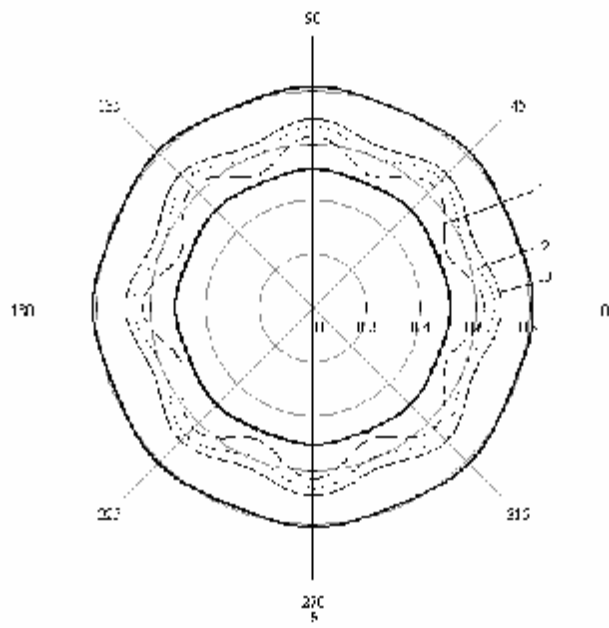
Рис.2



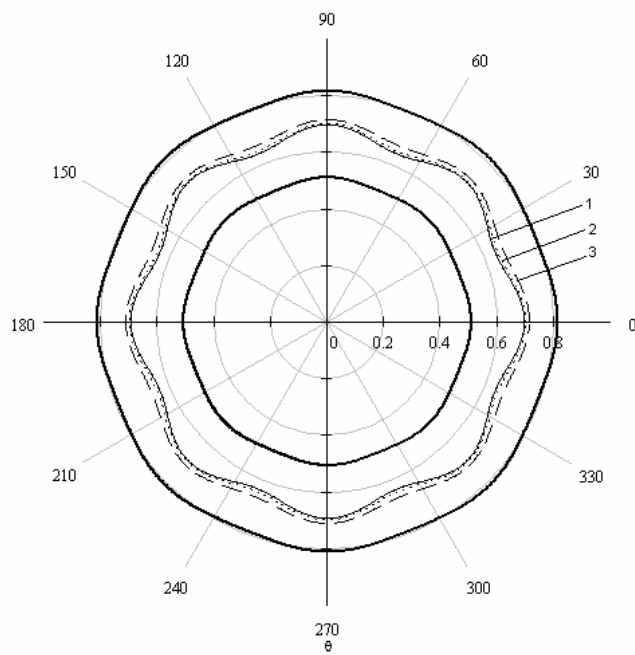
**Рис. 3**



**Рис. 4**



**Рис.5**



**Рис.6**

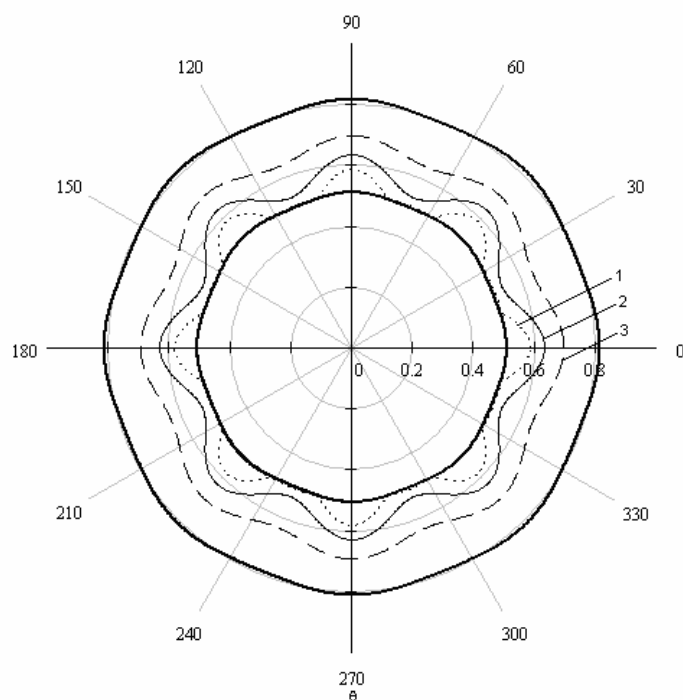


Рис. 7

г. Воронеж  
 Поступила: 01 ноября 2006 г.

ЛИТЕРАТУРА

1. Быковцев, Г. И., Теория пластичности / Г. И. Быковцев, Д. Д. Ивлев. – Владивосток. : Дальнаука. – 1998. – 320 с.
2. Ершов, Л. В. О проявлении горного давления в горизонтальных выработках / Л.В. Ершов // Докл. АН СССР. – 1962. – Т. 145. – № 2. – С. 298 – 300.
3. Ивлев, Д. Д., Метод возмущений в теории упругопластического тела / Д. Д. Ивлев Л. В. Ершов. – М. : Наука. – 1978. – 208 с.
4. Ишлинский, А. Ю. Математическая теория пластичности / А. Ю. Ишлинский, Д. Д. Ивлев. – М. : Физматлит. – 2001. – 701 с.
5. Спорыхин, А. Н. Метод возмущений в задачах устойчивости сложных сред / А. Н. Спорыхин. – Воронеж : Изд-во Воронеж. ун-та. – 1997. – 359 с.
6. Спорыхин, А. Н. Неоднородные задачи упруговязкопластичности с неизвестной границей / А. Н. Спорыхин, А. В. Ковалев, Ю. Д. Щеглова. – Воронеж : ВГУ. – 2004.
7. Спорыхин, А. Н. Устойчивость равновесия пространственных тел и задачи механики горных пород / А. Н. Спорыхин, А. И. Шашкин. – М. : ФИЗМАТЛИТ. – 2004.